

УДК 539.3

## ПРОГНОЗИРОВАНИЕ ПРЕДЕЛЬНЫХ ЗНАЧЕНИЙ ПРОЧНОСТНЫХ ПОКАЗАТЕЛЕЙ ПРОСТРАНСТВЕННО НЕОДНОРОДНЫХ МАТЕРИАЛОВ

В.В. БАРДУШКИН<sup>1</sup>, Д.А. КИРИЛЛОВ<sup>1</sup>, А.П. СЫЧЕВ<sup>2,3+</sup><sup>1</sup> Национальный исследовательский университет «МИЭТ», пл. Шокина, 1, 124498, г. Москва, г. Зеленоград, Россия;<sup>2</sup> Южный научный центр РАН, пр-т Чехова, 41, 344006, г. Ростов-на-Дону, Россия;<sup>3</sup> Ростовский государственный университет путей сообщения, пл. Ростовского Стрелкового Полка Народного Ополчения, 2, 344038, г. Ростов-на-Дону, Россия.

*Решается задача численного прогнозирования предельных значений прочностных показателей в композитных материалах, имеющих неодинаковую плотность размещения сферических включений в различных направлениях. В качестве дисперсного наполнителя пространственно неоднородных материалов рассматривается графит. В качестве матрицы – эпоксидные связующие ЭД-20, ЭХД и УП-610. Исследованы зависимости пределов прочности при одноосном сжатии в различных направлениях от изменения структуры композитов, а также состава компонентов и их концентрации.*

**Ключевые слова:** прогнозирование, матричные композиты, включения, оператор концентрации напряжений, механическая прочность.

### Введение

В работе решается задача численного прогнозирования пределов прочности при одноосном сжатии дисперсно-наполненных композитных материалов, имеющих неодинаковую плотность размещения сферических включений в различных направлениях. Проявления подобной пространственной неоднородности композитов могут быть обусловлены рядом причин. Это могут быть специальные требования к разрабатываемым изделиям, заставляющие исследователей искать оригинальные технологические решения для достижения неравномерности распределения включений в материалах. Пространственная неоднородность создаваемых композитов может быть вызвана также объективными трудностями проектирования и разработки технологического оборудования [1–4]. В триботехнике ситуация с неравномерным распределением наполнителей в полимерных связующих возникает, например, при создании слоистых антифрикционных композитных структур [2, 3]. Примерами пространственно неоднородных сред в электронной технике могут служить структуры на пористом кремнии и углероде, у которых сформированные поры заполняются рабочим материалом, т. е. формируется классический композит «матрица-включение». В плоскости, параллельной подложке, их структура хорошо подчиняется условию про-

странственной однородности, однако в вертикальном направлении (от подложки к поверхности) сформированные полости имеют определенную пространственную неоднородность [4].

Неравномерное распределение включений в пространстве композитов приводит к анизотропии их физико-механических свойств (упругих, оптических, сегнетоэлектрических и др.). Это необходимо учитывать при создании изделий, использующих подобные материалы. Поэтому методы оценки равномерности распределения включений и анализа влияния этого фактора на физико-механические (в частности, упругие) свойства матричных композитов актуальны. При анализе напряженно-деформированного состояния подобных композитов встает проблема прогнозирования не только их эффективных (эксплуатационных) [2, 5, 6], локальных (внутренних) упругих свойств [2, 7], но и предельных прочностных характеристик [2, 8]. Теоретическое прогнозирование предельных прочностных характеристик позволяет уже на стадии проектирования материалов делать заключения о их возможном поведении при экстремальных нагрузках, давать рекомендации по подбору состава компонентов, их концентрации и т. п.

### Построение модели и постановка задачи

Структура реальных пространственно неодно-

+ Автор, с которым следует вести переписку. E-mail: alekc\_sap@mail.ru.

родных материалов представляет собой стохастическую (случайно неоднородную) сплошную среду. Центральным моментом при использовании статистических методов прогнозирования их физико-механических характеристик является возможность выделения представительного объема, т. е. некоторой области бесконечно большого объема материала, свойства которой аналогичны свойствам материала в целом, а также свойствам подобной области, расположенной пространственно в другом месте. Удовлетворение этого условия приводит к выполнению условия эргодичности, т. е. дает возможность проводить усреднение по объему материала, а не по ансамблю реализаций [2, 9]. Для пространственно однородных материалов это условие выполняется. Это же условие может выполняться и для пространственно неоднородных материалов [5].

Для построения модели рассмотрим матричный композит, состоящий из двух изотропных компонентов – включений сферической формы примерно одинакового радиуса  $R$  и окружающей их сплошной матрицы. Причем структура неоднородного материала такова, что плотность «укладки» элементов неоднородности в различных направлениях неодинакова. Примем, что любой представительный объем (рис. 1) композитного материала имеет такое расположение включений, что в направлении  $Ox$  прямоугольной системы координат среднее расстояние между центрами соседних сфер равно  $a$ , в направлении  $Oy - b$ , а в направлении  $Oz - c$ . Отметим, что вдоль направления любой из осей системы координат этот материал является пространственно однородным, однако в целом однородность отсутствует.

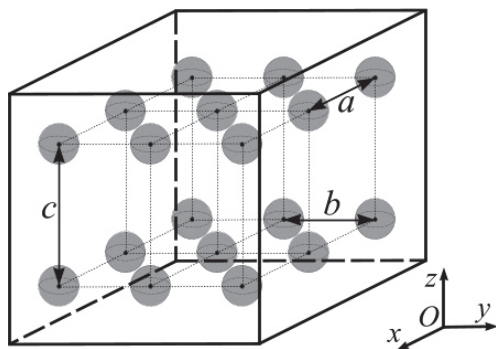


Рис. 1. Структура матричного композита, армированного сферическими включениями в направлениях осей  $Ox$ ,  $Oy$  и  $Oz$

Приведем исходную структуру материала к виду, позволяющему проводить прогнозирование его упругих характеристик. С этой целью совершим аффинное преобразование сжатия-растяжения пространства композита

$$x' = \frac{c}{a}x, \quad y' = \frac{c}{b}y, \quad z' = z. \quad (1)$$

В результате этого преобразования сферические включения радиуса  $R$  примут форму эллипсои-

дов с полуосями  $cR/a$ ,  $cR/b$ ,  $R$ , причем средние расстояния между центрами соседних эллипсоидов вдоль каждой из координатных осей будут одинаковыми, равными  $c$ . Таким образом, весь материал станет пространственно однородным. При этом:

- объем каждого сферического включения изменяется в  $c^2/(ab)$  раз (следовательно, и объем всех элементов неоднородности изменяется в это же количество раз), однако объем всего композитного материала также изменяется в  $c^2/(ab)$  раз, а значит, концентрация включений остается неизменной;

- компоненты матричного композита остаются изотропными (если коэффициенты  $c/a$  и  $c/b$  в преобразовании сжатия-растяжения (1) принимают значения, при которых сохраняется способность материала к обратимой деформации);

- в силу пространственной однородности «нового» материала в качестве элементарного объема можно рассматривать одно эллипсоидальное включение с различными полуосями  $cR/a$ ,  $cR/b$ ,  $R$ , окруженное сплошной матрицей.

В работе [5] обоснована корректность подхода, связанного с аффинным преобразованием сжатия-растяжения пространства композита, к прогнозированию эффективных (эксплуатационных) упругих свойств пространственно неоднородных материалов в рамках обобщенного сингулярного приближения [9]. Опираясь на [5], можно утверждать о корректности этого же подхода к прогнозированию предельных прочностных характеристик указанных композитов.

При решении задачи прогнозирования значений предельного разрушающего напряжения (при одноосном сжатии) пространственно неоднородных материалов будем рассматривать композиты на полимерной основе с дисперсными включениями графита. Прогнозирование разрушающих характеристик таких композитов основывается на разработанном в статье [10] методе прогнозирования предельных прочностных свойств матричных композитных материалов при сжатии. Рассматривается хрупкое разрушение неоднородных материалов.

Согласно этому методу приложенная к композиту сжимающая (в определенном направлении) нагрузка становится разрушающей тогда и только тогда, когда внутреннее напряжение в матрице начинает превышать предел ее прочности. При этом величина интенсивности внутренних напряжений, возникающих в матрице при внешнем воздействии на композит, сравнивается с ее известным (справочным) значением предела прочности. Использование в указанном методе данных о предельных прочностных характеристиках матрицы обусловлено в первую очередь тем, что разрушение полимерной матрицы приводит к потере композитом монолитности и, как следствие, выходу из строя изделий из подобных материалов. Кроме того, сведения о пределах прочности для полимерных связующих широко

представлены в научно-технической литературе.

Прогнозирование опирается на обобщенное сингулярное приближение теории случайных полей [9] и понятии оператора концентрации напряжений  $K^\sigma(\mathbf{r})$  (тензора четвертого ранга), связывающего напряжения  $\sigma_{ij}(\mathbf{r})$  внутри каждого из элементов неоднородности со средним (внешним) напряжением  $\langle \sigma_{kl}(\mathbf{r}) \rangle$ , приложенным ко всему композиту [2, 11–14]:

$$\sigma_{ij}(\mathbf{r}) = K_{ijkl}^\sigma(\mathbf{r}) \langle \sigma_{kl}(\mathbf{r}) \rangle, \quad i, j, k, l = 1, 2, 3, \quad (2)$$

где  $\mathbf{r}$  – радиус-вектор случайной точки композитной среды. Угловые скобки в (2) и далее по тексту определяют процедуру статистического усреднения, которая при выполнении гипотезы эргодичности совпадает с усреднением по объему [2, 9].

Для определения  $K^\sigma(\mathbf{r})$  необходимо решать уравнения равновесия упругой неоднородной среды. Однако в общем случае получить соотношение для численных расчетов оператора концентрации напряжений не удастся. Поэтому для вычисления  $K^\sigma(\mathbf{r})$  используются различные приближения. Одним из таких приближений, учитывающих взаимодействия включений, является обобщенное сингулярное приближение теории случайных полей [9]. В его рамках используется только сингулярная составляющая тензора Грина уравнений равновесия, зависящая лишь от дельта-функции Дирака, а также вводится однородное тело сравнения, материальные константы которого входят в окончательные выражения для вычисления  $K^\sigma(\mathbf{r})$ . Физический смысл обобщенного сингулярного приближения заключается в предположении однородности полей напряжений и деформаций в пределах элемента неоднородности. В этом случае выражение для  $K^\sigma(\mathbf{r})$  имеет следующий вид (индексы опущены) [2, 13, 14]:

$$K^\sigma(\mathbf{r}) = c(\mathbf{r}) [I - g(\mathbf{r})c''(\mathbf{r})]^{-1} \left\langle c(\mathbf{r}) [I - g(\mathbf{r})c''(\mathbf{r})]^{-1} \right\rangle^{-1} \quad (3)$$

Здесь  $I$  – единичный тензор четвертого ранга;  $c(\mathbf{r})$  – тензор модулей упругости;  $g(\mathbf{r})$  – интеграл от сингулярной составляющей второй производной тензора Грина уравнений равновесия, являющийся тензором четвертого ранга;  $c''(\mathbf{r}) = c(\mathbf{r}) - c^c$  – разность между соответствующими параметрами неоднородной среды и однородного тела сравнения, где  $c^c$  – упругие характеристики тела сравнения.

Для вычисления компонент  $g_{ijkl}$  тензора  $g(\mathbf{r})$  необходимо вначале осуществить расчеты компонент  $a_{iklj}$  интеграла от вторых производных тензора Грина, а затем в  $a_{iklj}$  по двум парам индексов ( $i, j$  и  $k, l$ ) провести операцию симметризации [9]. Компоненты

$a_{iklj}$  вычисляются с помощью следующего соотношения:

$$a_{iklj} = -\frac{1}{4\pi} \int n_k n_j t_{il}^{-1} d\Omega, \quad (4)$$

где  $d\Omega = \sin \theta d\theta d\varphi$  – элемент телесного угла в сферической системе координат,  $t_{il}^{-1}$  – элементы матрицы, обратной матрице  $T$  с элементами  $t_{il} = c_{iklj}^c n_k n_j$ , а  $n_k$  и  $n_j$  ( $k, j = 1, 2, 3$ ) – компоненты вектора внешней нормали к поверхности включения. Для эллипсоидальных включений с главными полуосями  $l_1$ ,  $l_2$  и  $l_3$  компоненты вектора нормали определяются соотношениями

$$n_1 = \frac{1}{l_1} \sin \theta \cos \varphi, \quad n_2 = \frac{1}{l_2} \sin \theta \sin \varphi, \quad n_3 = \frac{1}{l_3} \cos \theta.$$

Как указывалось, в случае выполнения условия эргодичности можно использовать усреднение по объему. Тогда для двухкомпонентного композита с изотропными включениями и матрицей операция усреднения по всему объему материала для некоторой случайной величины  $a(\mathbf{r})$  сводится к суммированию (здесь и далее индекс «в» будет относиться к включениям, а «м» – к матрице) [2, 9, 15]:

$$\langle a(\mathbf{r}) \rangle = v_v a_v + v_m a_m, \quad (5)$$

где  $v_v$  и  $v_m$  – объемные концентрации включений и матрицы ( $v_v + v_m = 1$ );  $a_v$  и  $a_m$  – соответствующая указанному компоненту случайная величина.

### Проведение модельных расчетов

Для проведения модельных расчетов в работе были рассмотрены композиты с изотропными компонентами на основе известных и широко применяемых на практике эпоксидных связующих ЭД-20 (модуль Юнга  $E = 3,8$  ГПа, коэффициент Пуассона  $\nu = 0,39$ , разрушающее напряжение при сжатии  $\sigma_p = 198$  МПа), ЭХД ( $E = 4,5$  ГПа,  $\nu = 0,36$ ,  $\sigma_p = 320$  МПа) и УП-610 ( $E = 5,2$  ГПа,  $\nu = 0,41$ ,  $\sigma_p = 347$  МПа) с включениями графита ( $E = 10,9$  ГПа,  $\nu = 0,235$ ) [16, 17].

С учетом (5), соотношение (3) для оператора концентрации  $K_m^\sigma$  в связующем (матрице) примет следующий вид:

$$K_m^\sigma = c_m \left[ I - g_m (c_m - c^c) \right]^{-1} \times \left\{ v_v c_v \left[ I - g_v (c_v - c^c) \right]^{-1} + \left[ + v_m c_m \left[ I - g_m (c_m - c^c) \right]^{-1} \right] \right\}^{-1}, \quad (6)$$

где  $g_b$  – тензор  $g(\mathbf{r})$  во включении с компонентами, вычисляемыми с помощью соотношения (4) при  $l_1 = cR/a$ ,  $l_2 = cR/b$ ,  $l_3 = R$ ;  $g_m$  – тензор  $g(\mathbf{r})$  в матрице с компонентами, также вычисляемыми с помощью (4);  $c_b$  и  $c_m$  – тензоры модулей упругости включений и матрицы соответственно.

При вычислении компонент тензоров  $g_b$  и  $g_m$  в формуле (6) полагалось  $R = 1$  и  $a = b$ , т. е. считалось, что в направлениях  $Ox$  и  $Oy$  плотность сферических включений в пространственно неоднородном материале примерно одинакова.

В операциях над тензорами использовали матричную форму записи [9]. При этом ненулевые элементы  $c_{ij}$  ( $i, j = 1, \dots, 6$ ) симметрической матрицы тензора  $c$  модулей упругости для изотропного материала выражали через модуль Юнга  $E$  и коэффициент Пуассона  $\nu$  следующим образом:

$$c_{11} = c_{22} = c_{33} = \frac{E(1-\nu)}{(1+\nu)(1-2\nu)};$$

$$c_{44} = c_{55} = c_{66} = \frac{E}{2(1+\nu)};$$

$$c_{12} = c_{13} = c_{23} = \frac{E\nu}{(1+\nu)(1-2\nu)}.$$

Упругие характеристики однородного тела сравнения вычисляли методом самосогласования [2, 9, 15], для чего использовали итерационную процедуру, в которой в качестве параметров  $c^c$  тела сравнения использовали тензоры модулей упругости (в матричной записи), полученные на предыдущем шаге итерации. В качестве начальных значений параметров тела сравнения брали упругие характеристики, полученные в приближении Хилла, т. е. среднее арифметическое значений, полученных в приближениях Ройсса  $c_{\text{Reuss}} = (v_b c_b^{-1} + v_m c_m^{-1})^{-1}$  и Фойгта  $c_{\text{Voigt}} = v_b c_b + v_m c_m$  [2, 9]. Итерационную процедуру прекращали при максимальном изменении модулей  $c^c$  менее чем на 1%.

Для проведения модельных расчетов, позволяющих учитывать неравномерность распределения включений в матрице, был введен безразмерный параметр  $cR/a$ . Исследовалось влияние изменения этого параметра на предельные прочностные показатели рассматриваемых пространственно неоднородных материалов.

В модельных расчетах использовали данные о разрушающем напряжении при сжатии  $\sigma_p$  указанных выше полимерных связующих. Внешнее сжимающее воздействие  $\langle \sigma \rangle$  (МПа) задавали в лабораторной системе координат  $Oxyz$  матрицей

$$\langle \sigma \rangle = \begin{pmatrix} \sigma_{11} & 0 & 0 \\ 0 & \sigma_{22} & 0 \\ 0 & 0 & \sigma_{33} \end{pmatrix}.$$

Были рассмотрены следующие случаи осевого сжатия  $\langle \sigma \rangle$ : 1)  $\sigma_{33} = A$ ,  $\sigma_{11} = \sigma_{22} = 0$  (параллельно оси  $Oz$ ); 2)  $\sigma_{11} = B$ ,  $\sigma_{22} = \sigma_{33} = 0$  (параллельно оси  $Ox$ ). Отметим, что в силу структуры рассматриваемых неоднородных материалов моделирование сжимающего воздействия в направлении оси  $Oy$  равносильно второму случаю.

Вычислительная процедура была организована следующим образом. Вначале для модельного композита при фиксированных значениях процентного содержания его элементов неоднородности и параметра  $cR/a$  по формуле (6) вычисляли оператор  $K_M^\sigma$  (в связующем). Далее в  $\langle \sigma \rangle$  задавали определенные положительные значения  $A$  и  $B$  (для первого и второго случаев соответственно). Затем, опираясь на определение (2) оператора концентрации напряжений, вычисляли элементы  $\sigma_{ij}$  ( $i, j = 1, 2, 3$ ) матрицы тензора напряжений в связующем. После этого происходило сравнение значений вычисленных элементов  $\sigma_{33}$  (для первого случая) и  $\sigma_{11}$  (для второго случая) со справочной величиной предела прочности при сжатии  $\sigma_p$  для рассматриваемого связующего. Если  $\sigma_{33} < \sigma_p$  (соответственно  $\sigma_{11} < \sigma_p$ ), то значение  $A$  (соответственно  $B$ ) увеличивали на 0,01 МПа и вычисление элементов  $\sigma_{ij}$  матрицы тензора напряжений в связующем повторяли заново. Вычислительную процедуру останавливали сразу, как только выполнялось условие  $\sigma_{33} \geq \sigma_p$  (соответственно  $\sigma_{11} \geq \sigma_p$ ), а последнее значение  $A$  (соответственно  $B$ ) принимали в качестве предела прочности  $\sigma_{сж}$  композитного материала при одноосном сжатии параллельно оси  $Oz$  (соответственно параллельно оси  $Ox$ ). Затем фиксировали новое значение параметра  $cR/a$ , и вычисления пределов прочности  $\sigma_{сж}$  вдоль каждой из осей для модельного композита повторяли заново.

На рис. 2 и 3 приведены результаты расчета значений разрушающего напряжения для рассматриваемых композитных материалов при сжатии параллельно осям  $Ox$  и  $Oz$  от изменения структурного параметра  $cR/a$ .

Модельные расчеты, представленные на рис. 2, проводились при объемной концентрации наполнителя  $v_b = 0,05$ .

Дальнейшие исследования были посвящены изучению влияния концентрации наполнителя  $v_b$  на величину предела прочности  $\sigma_{сж}$  композитов на основе эпоксидных смол марок ЭД-20, ЭХД и УП-610 при сжатии в направлении осей  $Ox$  и  $Oz$ . На рис. 3

представлены результаты модельных расчетов только для композитов на основе связующего ЭД-20, т. к. для материалов на основе эпоксидных смол марок ЭХД и УП-610 характер указанных зависимостей был аналогичен, отличаясь только по величине.

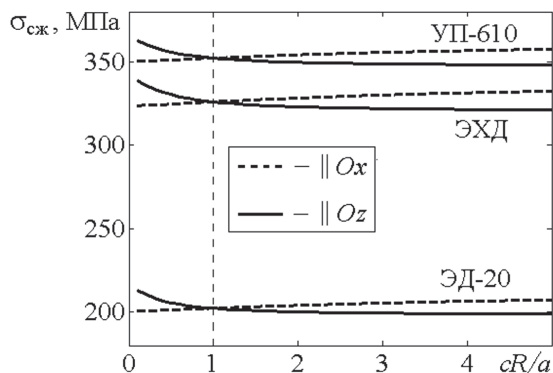


Рисунок 2 – Зависимости предельных прочностных показателей (при осевом сжатии) модельных композитов на основе связующих ЭД-20, ЭХД и УП-610 от изменения параметра  $cR/a$

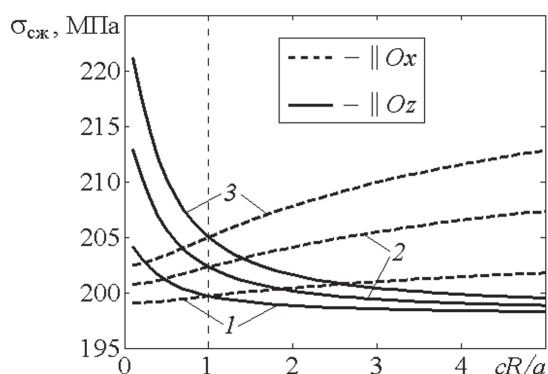


Рисунок 3 – Зависимости предельных прочностных показателей (при осевом сжатии) модельных композитов на основе связующего ЭД-20 от параметра  $cR/a$  и объемной концентрации  $v_b$  наполнителя (графит): 1 –  $v_b = 0,02$ ; 2 –  $v_b = 0,05$ ; 3 –  $v_b = 0,08$

### Заключение

На основании проведенных исследований и численных модельных расчетов можно сделать следующие выводы.

1. Зависимости значений предельных прочностных показателей от параметра  $cR/a$  имеют нелинейный и монотонный характер. При этом значения  $\sigma_{сж}$  возрастают при одноосном сжатии вдоль  $Ox$  и убывают при сжатии вдоль оси  $Oz$ .

2. Рассматриваемые пространственно неоднородные композитные материалы с дисперсными добавками графита имеют более высокие предельные прочностные показатели по сравнению с аналогичными характеристиками соответствующих отдельно взятых полимерных связующих вне зависимости от величины параметра  $cR/a$ , концентрации включений  $v_b$  и направления приложения сжимающей на-

грузки, т. е.  $\sigma_{сж} > \sigma_p$ .

3. Точка  $cR/a = 1$  соответствует пространственно однородному композитному материалу со сферическими включениями одинакового радиуса. Поэтому на рис. 2 и 3 кривые, соответствующие одноосным внешним воздействиям в направлениях  $Ox$  и  $Oz$ , попарно пересекаются при  $cR/a = 1$ .

Исследование выполнено в рамках реализации Государственного задания на 2016 г. № 007-01114-16 ПР (проект 0256-2015-0074) и при поддержке РФФИ (гранты 14-08-00654-а, 16-08-00262-а).

### Литература

1. Избранные задачи современного материаловедения: кластеры, покрытия, порошки, композиты, неразъемные соединения / Под ред. А.А. Лозована. – М.: Пробел-2000, 2014. – 484 с.
2. Колесников, В.И. Микромеханика поликристаллов и композитов (напряженно-деформированное состояние и разрушение) / В.И. Колесников, В.В. Бардушкин, В.Б. Яковлев, А.П. Сычев, И.В. Колесников. – Ростов-на-Дону: Изд-во РГУПС, 2012. – 288 с.
3. Машков, Ю.К. Полимерные композиционные материалы в триботехнике / Ю.К. Машков, З.Н. Овчар, М.Ю. Байбарацкая, О.А. Мамаев. – М.: Недра, 2004. – 261 с.
4. Нанотехнологии в электронике. Выпуск 3 / Под ред. чл.-корр. РАН Ю.А. Чаплыгина. – М.: Техносфера, 2015. – 480 с.
5. Бардушкин, В.В. Эффективные упругие характеристики пространственно неоднородных материалов / В.В. Бардушкин // Известия вузов. Электроника. – 2005. – № 2. – С. 19–24.
6. Колесников, В.И. Влияние распределения наполнителя в полимерном связующем на эффективные упругие свойства антифрикционных композитов / В.И. Колесников, В.В. Бардушкин, А.П. Сычев, Д.А. Кириллов, В.В. Даньков // Трение и смазка в машинах и механизмах. – 2014. – № 12. – С. 38–43.
7. Бардушкин, В.В. Влияние распределения наполнителя в полимерном связующем на локальные упругие характеристики антифрикционных композитов / В.В. Бардушкин, Д.А. Кириллов, А.П. Сычев, В.А. Кохановский, А.А. Сычев // Вестник РГУПС. – 2015. – № 3. – С. 8–13.
8. Бардушкин, В.В. Влияние концентрации, формы и ориентации включений на предельные значения прочностных показателей матричных композитов при сжатии / В.В. Бардушкин, И.В. Колесников, А.П. Сычев, А.И. Сорокин // Материалы, технологии, инструменты. – 2015. – Т. 20, № 2. – С. 13–18.
9. Шермергор, Т.Д. Теория упругости микронеднородных сред / Т.Д. Шермергор. – М.: Наука, 1977. – 399 с.
10. Колесников, В.И. О методе прогнозирования предельных прочностных характеристик матричных композитов, основанном на использовании оператора концентрации напряжений / В.И. Колесников, В.В. Бардушкин, В.Б. Яковлев, А.П. Сычев, Д.А. Кириллов, А.И. Сорокин // Экологический вестник научных центров Черноморского экономического сотрудничества. – 2014. – № 1. – С. 45–51.
11. Победря, Б.Е. Концентрация напряжений и деформаций в композитах / Б.Е. Победря, В.И. Горбачев // Механика композитных материалов. – 1984. – № 2. – С. 207–214.
12. Маслов, Б.П. Концентрация напряжений в изотропной матрице, армированной анизотропными включениями / Б.П. Маслов // Прикладная механика. – 1987. – Т. 23, № 10. – С. 73–79.
13. Yakovlev, V.B. Local stress-strain conditions of textured polycrystals under high pressure / V.B. Yakovlev // High Pressure Research. – 2000. – Vol. 17. – P. 375–383.
14. Колесников, В.И. О прогнозировании распределений локальных упругих полей в неоднородных средах на основе обобщенного сингулярного приближения / В.И. Колесников,

- В.Б. Яковлев, В.В. Бардушкин, А.П. Сычев // Вестник Южного научного центра РАН. – 2015. – Т. 11. № 3. – С. 11–17.
15. Паньков, А.А. Методы самосогласования механики композитов / А.А. Паньков. – Пермь: Изд-во Пермского гос. техн. ун-та, 2008. – 253 с.
16. Лапицкий, В.А. Физико-механические свойства эпоксидных полимеров и стеклопластиков / В.А. Лапицкий, А.А. Крицук. – Киев: Наукова думка, 1986. – 92 с.
17. Физические величины: Справочник / Под ред. И.С. Григорьева, Е.З. Мейлихова. – М.: Энергоатомиздат, 1991. – 1232 с.

---

Bardushkin V.V., Kirillov D.A., Sychev A.P.

**Forecasting of limiting strength in the spatially non-uniform materials.**

The problem of limiting strength numerical forecasting in composites having unequal density of the spherical inclusions in different directions, is solved. Graphite is considered as disperse fillers of spatially non-uniform composites. The epoxy binders ED-20, EHD and UP-610 are considered as a matrix. Dependencies of limiting strength characteristics by uniaxial compression in different directions from variation of the structure of the composites and their components' consistency and concentration, were investigated.

**Keywords:** forecasting, matrix composite, inclusions, operator of stresses concentration, mechanical strength.

*Поступила в редакцию 22.06.2016.*

© В.В. Бардушкин, Д.А. Кириллов, А.П. Сычев, 2016.